

МЕТОДИЧЕСКИЕ ЗАМЕТКИ

О проявлении пиromагнитного эффекта в ферримагнетиках со "слабой" подрешеткой

К.П. Белов

Из рассмотрения особенностей температурных зависимостей остаточной и спонтанной намагниченности в ферритах со "слабой" подрешеткой следует вывод о том, что в них проявляется магнитный аналог пироэлектрического эффекта — пиromагнитный эффект, возрастание намагниченности при охлаждении образца феррита в отсутствие внешнего магнитного поля. Подтверждением этого является наблюдаемое в данных ферритах термодинамически обратное явление — линейный магнитокалорический эффект. Возникновение указанных эффектов обязано существованию в ферримагнетиках со "слабой" подрешеткой односторонней обменной анизотропии.

PACS numbers: 75.50.-y, 75.50.Gg, 75.80.+q, 75.90.+w

Содержание

1. Введение (447).
2. К 40-летию открытия А.С. Боровиком-Романовым пьезомагнитного эффекта и термодинамически обратного ему явления линейной магнитострикции (447).
3. Термодинамическая взаимосвязь эффектов парапроцесса в ферримагнетиках со "слабой" подрешеткой (448).
4. Проявления линейного магнитокалорического и пиromагнитного эффектов в феррите-гранате гадолиния (449).
5. Непосредственное наблюдение пиromагнитного эффекта в феррите-гранате гадолиния (451).
6. Заключение (453).

Список литературы (454).

1. Введение

В 30-е годы XX столетия, когда начались интенсивные исследования сегнетоэлектриков, считалось, что они являются аналогами ферромагнетиков. (За рубежом их до сих пор называют ферроэлектриками.) В последующем выяснилось, что в сегнетоэлектриках существуют явления, которых нет в магнитоупорядоченных веществах (ферро-, ферри- и антиферромагнетиках). К ним принадлежат такие эффекты, как пьезоэлектрический и пироэлектрический. Однако в конце 50-х годов это утверждение оказалось неверным в связи с открытием Боровиком-Романовым [1] пьезомагнитного эффекта в антиферромагнитных кристаллах, обладающих определенными симметрийными особенностями.

К.П. Белов. Московский государственный университет им. М.В. Ломоносова, физический факультет, 119899 Москва, Воробьевы горы, Российской Федерации
Тел. (095) 939-30-39

Статья поступила 19 января 2000 г.

В недавней работе автора настоящей статьи [2] из анализа экспериментального материала магнитных свойств ферритов со "слабой" подрешеткой было показано, что в них должен возникать пьезомагнитный эффект из-за влияния односторонней обменной анизотропии (непосредственного измерения этого эффекта еще не предпринималось).

В настоящей статье показывается, что в данном типе ферримагнетиков проявляется пиromагнитный эффект (аналог пироэлектрического эффекта). Причина его возникновения та же — влияние односторонней обменной анизотропии. Так как между пьезомагнитным и пиromагнитным эффектами существует термодинамическая взаимосвязь (см. раздел 3 настоящей статьи), ниже несколько слов посвящается обнаружению Боровиком-Романовым пьезомагнитного эффекта.

2. К 40-летию открытия А.С. Боровиком-Романовым пьезомагнитного эффекта и термодинамически обратного ему явления линейной магнитострикции

В конце 50-х годов Боровик-Романов [1] осуществил весьма тонкие и трудные измерения пьезомагнитного эффекта в монокристаллах антиферромагнетиков MnF_2 и CoF_2 , так как изменения намагниченности ΔI при приложении к ним упругого сжатия P были очень малыми. Эти кристаллы обладали особенностями магнитной симметрии, которые были выявлены Дзялошинским [3].

Пьезомагнетизм, обнаруженный Боровиком-Романовым, тесно связан с явлением "слабого" ферромагнетизма антиферримагнетиков, который возникает в них в результате влияния магнитоанизотропных сил. Так же, как и магнитный момент "слабого" ферромагнетизма, он направлен перпендикулярно векторам спонтанной намагниченности подрешеток антиферромагнетика, и

поэтому возникает неколлинеарность расположения последних. Пьезомагнитный момент направлен, как и момент "слабого" ферромагнетизма, перпендикулярно векторам намагниченности подрешеток.

Далее Боровик-Романов нашел, что пьезомагнетизм существенно зависит от доменной структуры антиферромагнетиков. В многодоменном антиферромагнитном образце пьезомагнетизм может быть сильно ослаблен. Поэтому в чистом виде пьезомагнетизм наблюдается в монодоменных образцах. Пьезомагнетизм наблюдается также в "слабом" ферромагнетике — гематите ($\alpha\text{-Fe}_2\text{O}_3$) и др.

Термодинамически обратным явлением пьезомагнитному эффекту является "нечетная" (линейная) магнитострикция, которая также была впервые обнаружена в экспериментах Боровика-Романова с упомянутыми выше веществами.

Отметим, что задолго до работ Боровика-Романова в зарубежной теоретической работе [5] было предсказано существование линейной магнитострикции в антиферромагнетиках. Линейная магнитострикция была в дальнейшем детально экспериментально изучена в антиферромагнетиках со "слабым" ферромагнетизмом (гематите) [6] и редкоземельных ортоферритах [7].

3. Термодинамическая взаимосвязь эффектов парапроцесса в ферримагнетиках со "слабой" подрешеткой

Ферримагнетики со "слабой" подрешеткой обладают аномальными свойствами по сравнению с ферримагнетиками с "неелевской" магнитной структурой (с сильным межподрешеточным обменным взаимодействием [8]). Благодаря существованию односторонней обменной анизотропии [2] в них возникают аномальные эффекты парапроцесса.

В настоящем разделе мы покажем, что в ферримагнетиках со "слабой" подрешеткой должны проявляться пьезомагнитный эффект и термодинамически обратное ему явление — линейная магнитострикция. Однако они имеют другую природу, чем та, которая существует в антиферромагнетиках, а именно: они обусловлены эффектами парапроцесса в "слабой" подрешетке (т.е. имеют обменную природу). Возникновение их вытекает из рассмотрения термодинамической взаимосвязи эффектов парапроцесса в "слабой" подрешетке ферримагнетика. Из этой же взаимосвязи вытекает возникновение пиромагнитного эффекта (аналога пироэлектрического эффекта), проявляющегося в сегнетоэлектриках и диэлектриках [12], и термодинамически обратного явления — линейного магнитокалорического эффекта.

Рассмотрим термодинамическую взаимосвязь эффектов парапроцесса на примере феррита-граната гадолиния ($\text{Gd}_3\text{Fe}_5\text{O}_{12}$), который является типичным ферримагнетиком со "слабой" подрешеткой. В этом феррите "слабой" подрешеткой является с-подрешетка (гадолиниевая), а "сильной" — ad-подрешетка (подрешетки катионов Fe^{3+}). Ограничимся интервалом температур между точкой $T_{\text{B}} \sim 100$ К (переход магнитный порядок — беспорядок в гадолиниевой подрешетке) и точкой магнитной компенсации $\Theta_{\text{com}} = 293$ К. В данном интервале температур с-подрешетка находится в магнитном изотропном, монодоменном состоянии и не обладает гистерезисными свойствами.

При приложении магнитного поля H , упругого напряжения P и при температуре T в этой подрешетке изменяется спиновое упорядочение, в результате чего возникают различные эффекты парапроцесса.

Рассмотрим вначале гипотетическую ситуацию, которая заключается в том, что "слабая" подрешетка как бы изолирована от "сильной" подрешетки, т.е. на нее не действует обменное поле, создаваемое "сильной" подрешеткой. Термодинамическим потенциалом при данном выборе независимых переменных (H, P, T) является свободная энергия Гиббса, полный дифференциал которой имеет вид

$$dG = -IdH - \lambda dP - SdT, \quad (1)$$

где I — спонтанная намагниченность, λ — магнитострикция парапроцесса (иногда ее называют обменной магнитострикцией), S — магнитная часть энтропии (обусловленная изменениями спинового порядка). Знак перед членом λdP зависит от того, какое упругое механическое напряжение действует — сжатие или растяжение. Соответственно знак перед членом SdT определяется видом изменения теплового воздействия, т.е. нагревом или охлаждением исследуемого образца.

Дифференцируя соотношение (1) по H, P и T , получаем магнитное, магнитоупругое и магнитотермическое уравнения состояния [12]:

$$I = \left(\frac{\partial G}{\partial H} \right)_{P,T}; \quad \lambda = \left(\frac{\partial G}{\partial P} \right)_{H,T}; \quad S = \left(\frac{\partial G}{\partial T} \right)_{P,H}. \quad (2)$$

Раскладывая выражения (2) в ряд в окрестности некоторого начального состояния с-подрешетки в интервале температур между T_{B} и Θ_{com} и ограничиваясь линейными членами разложения, получаем:

$$\Delta I = \left(\frac{\partial I}{\partial H} \right)_{P,T} \Delta H + \left(\frac{\partial I}{\partial P} \right)_{T,H} \Delta P + \left(\frac{\partial I}{\partial T} \right)_{P,H} \Delta T, \quad (3)$$

$$\Delta \lambda = \left(\frac{\partial \lambda}{\partial H} \right)_{T,P} \Delta H + \left(\frac{\partial \lambda}{\partial P} \right)_{T,H} \Delta P + \left(\frac{\partial \lambda}{\partial T} \right)_{H,P} \Delta T, \quad (4)$$

$$\Delta S = \left(\frac{\partial S}{\partial H} \right)_{P,T} \Delta H + \left(\frac{\partial S}{\partial P} \right)_{H,T} \Delta P + \left(\frac{\partial S}{\partial T} \right)_{H,P} \Delta T. \quad (5)$$

Уравнения (3)–(5) описывают всю совокупность магнитных, магнитоупругих и тепловых явлений, наблюдавшихся при изменениях H, P, T в "изолированной" "слабой" подрешетке. Второй член в соотношении (3) — магнитоупругий эффект парапроцесса, вызванный приложением механического напряжения P (в монографии [14] этот вид парапроцесса назван "механопарапроцессом" — изменение магнитного порядка под действием P в присутствии внешнего поля H):

$$(\Delta I)_P \neq 0 = \gamma_P \Delta P, \quad (6)$$

где $\gamma_P = (\partial I / \partial P)_{T,H}$ — магнитоупругий коэффициент. Из термодинамики магнитных явлений [14] следует соотношение

$$\left(\frac{\partial I}{\partial P} \right)_{T,H} = \left(\frac{\partial \lambda}{\partial H} \right)_{P,T}, \quad (7)$$

т.е. магнитоупругому эффекту соответствует термодинамически обратное явление — магнитострикция парапро-

цесса (соотношение (7) получается в результате дифференцирования уравнения $I = (\partial G / \partial H)_{P,T}$ по P и уравнения $\lambda = (\partial G / \partial P)_{H,T}$ по H).

Третий член в соотношении (3)

$$(\Delta I_T)_{H \neq 0} = \gamma_T \Delta T, \quad (8)$$

где $\gamma_T = (\partial I / \partial T)_{P,H}$ — магнитотермический коэффициент, характеризующий наклон кривой температурной зависимости $I(T)$ в присутствии магнитного поля H . Если при этом происходит охлаждение образца, то I возрастает вследствие возрастания спинового порядка, поэтому этот вид парапроцесса можно назвать термопарапроцессом. Термодинамически обратным этому явлению соответствует магнитокалорический эффект (первый член в соотношении (5))

$$(\Delta S_T)_{H \neq 0} = \gamma_S \Delta H, \quad (9)$$

где $\gamma_S = (\partial S / \partial T)_{P,T}$ — магнитокалорический коэффициент. Соотношение (9) представляет собой выражение для магнитокалорического эффекта:

$$\Delta T = -\frac{T}{C_I} \left(\frac{\partial I}{\partial T} \right)_{P,H} \Delta H. \quad (10)$$

Это выражение получается при подстановке в соотношение (9) $S = dQ/T$ и $dQ = C_I T$ (где dQ — изменение количества теплоты, выделяемой при термопарапроцессе, и C_I — теплоемкость). Формулу (10) можно переписать в следующем виде:

$$\left(\frac{\Delta T}{\Delta H} \right)_{P,T} = -\frac{T}{C_I} \left(\frac{\Delta I}{\Delta T} \right)_{H \neq 0}, \quad (11)$$

т.е. магнитокалорическому эффекту $\Delta T / \Delta H$ соответствует термодинамически обратное явление — магнитотермический эффект, обусловленный термопарапроцессом в присутствии поля. Как известно, в ферромагнетиках [14] (а в нашем случае "изолированная" "слабая" подрешетка) магнитокалорический эффект, как и магнитострикция, являются четными эффектами, т.е. квадратично зависящими от I .

Теперь учтем в нашем рассмотрении эффектов парапроцесса в "слабой" подрешетке реальную ситуацию, а именно: существование в рассматриваемом феррите односторонней обменной анизотропии, т.е. обменного поля, создаваемого ad-подрешеткой:

$$(H_{\text{ex}})_{\text{eff}} = J_{c-ad} I_1, \quad (12)$$

где J_{c-ad} — параметр обменного взаимодействия между "слабой" и "сильной" подрешетками, I_1 — намагниченность "сильной" подрешетки. Как было показано в работах [10, 2], это приводит к возникновению линейной магнитострикции. Экспериментально это было подтверждено в работе [9] при измерениях магнитострикции в феррите-гранате гольмия. Измерение термодинамически обратного ему явления, а именно пьезомагнитного эффекта в ферритах-гранатах еще не предпринималось.

Далее укажем самое главное для настоящей статьи: односторонняя обменная анизотропия в "слабой" подрешетке рассматриваемого феррита, согласно соот-

ношению (11), приводит к нечетному, т.е. линейно зависящему от I магнитокалорическому эффекту $(\Delta T / \Delta H)_{T,P}$, и магнитотермическому эффекту при охлаждении образца вследствие возникновения термопарапроцесса в отсутствие внешнего магнитного поля ($H = 0$) $(\Delta I / \Delta T)_{P,H=0}$, т.е. магнитного аналога пироэлектрического эффекта — пиромагнитного эффекта.

4. Проявления линейного магнитокалорического и пиромагнитного эффектов в феррите-гранате гадолиния

Долгое время (начиная с работ П. Вейса с соавторами [13]) считалось, что магнитокалорический эффект в ферромагнетиках (далее ΔT -эффект) квадратично зависит от намагниченности I :

$$\Delta T = aI^2, \quad (13)$$

где a — постоянный коэффициент, т.е. ΔT -эффект является четным. Такая же зависимость ΔT -эффекта от I наблюдается и в "неевлевских" ферримагнетиках.

Однако в работе [10] для ферритов со "слабой" подрешеткой (феррита $Gd_3Fe_5O_{12}$) путем применения метода молекулярного поля была получена формула для точки T_B

$$(\Delta T)_{T=T_B} = \frac{vg_S \mu_B S(H_{\text{ex}})_{\text{eff}}}{\mu C_V M_0} \chi_p H, \quad (14)$$

где v — число магнитных катионов в феррите $Gd_3Fe_5O_{12}$, μC_V — теплоемкость при постоянном молярном объеме, H — внешнее магнитное поле, M_0 — магнитный момент гадолиниевой подрешетки, $(H_{\text{ex}})_{\text{eff}}$ — обменное поле, создаваемое подрешеткой катионов Fe^{3+} , S и g_S — спин и фактор Ланда катиона Gd^{3+} , χ_p — молярная восприимчивость парапроцесса в "слабой" подрешетке. Видно, что $(\Delta T)_{T=T_B}$ линейно зависит от намагниченности парапроцесса: $I_{T=T_B} = \chi_p H$.

Из приведенной формулы видно, что даже при магнитном фазовом переходе магнитный порядок — беспорядок ΔT -эффект является линейным (нечетным) по намагниченности. Дальнейшие экспериментальные исследования магнитокалорического эффекта в ферритах со "слабой" подрешеткой подтвердили этот вывод.

На рисунке 1 по данным [15, 16] приведены кривые магнитокалорического эффекта для ферритов $Gd_3Fe_5O_{12}$

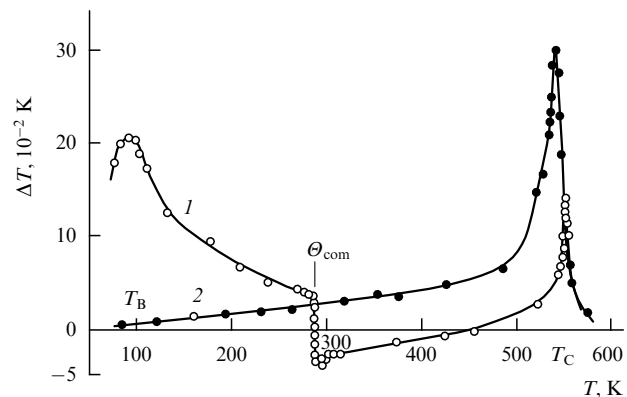


Рис. 1. Температурные зависимости магнитокалорического эффекта в поле 16 кЭ ферритов: 1 — $Gd_3Fe_5O_{12}$; 2 — $Y_3Fe_5O_{12}$.

и $\text{Y}_3\text{Fe}_5\text{O}_{12}$, измеренных в поле 16 кЭ. В данном разделе мы в основном рассмотрим ΔT -эффект в интервале температур между точкой T_B (низкотемпературный переход магнитный порядок–беспорядок) и Θ_{com} (точка магнитной компенсации). В этом температурном интервале (100–280 К) зависимость ΔT -эффекта от температуры имеет асимптотический характер. Видно, что за возникновение этой кривой $\Delta T(T)$ ответственна "слабая" (гадолиниевая) подрешетка, так как в области низких температур, как следует из рис. 1, подрешетка катионов Fe^{3+} (т.е. феррит-гранат иттрия $\text{Y}_3\text{Fe}_5\text{O}_{12}$) дает малый вклад в магнитокалорический эффект.

В работе [17] для феррита $\text{Gd}_3\text{Fe}_5\text{O}_{12}$, а также для замещенного немагнитными катионами (в подрешетках с и ad) графическим способом были выделены температурные зависимости удельной намагниченности σ для подрешетки с (гадолиниевой подрешетки). На рисунке 2 видно, что эти зависимости имеют также асимптотический температурный ход, повторяющий ход кривой $\Delta T(T)$. Это означает, что между ΔT и σ существует линейная связь. Подтверждением существования такой связи свидетельствует также изменение знака ΔT , возникающее при изменении направления намагниченности гадолиниевой подрешетки при переходе через Θ_{com} (см. рис. 1).

Доказательством линейности ΔT -эффекта от I могут также служить данные измерения ΔT -эффекта непосредственно вблизи точки компенсации Θ_{com} [16, 18]. На рисунке 3 видно, что зависимости ΔT от H и, следовательно, от I (так как χ_p в области Θ_{com} является константой) здесь носят строго линейный характер.

Косвенные признаки существования пиромагнитного эффекта ($\Delta I / \Delta T$) _{$P, H=0$} в "слабой" подрешетке феррита $\text{Gd}_3\text{Fe}_5\text{O}_{12}$ вытекает из анализа изотерм $\sigma(H)$, снятых [17] в интервале температур между T_B и Θ_{com} (рис. 4), и

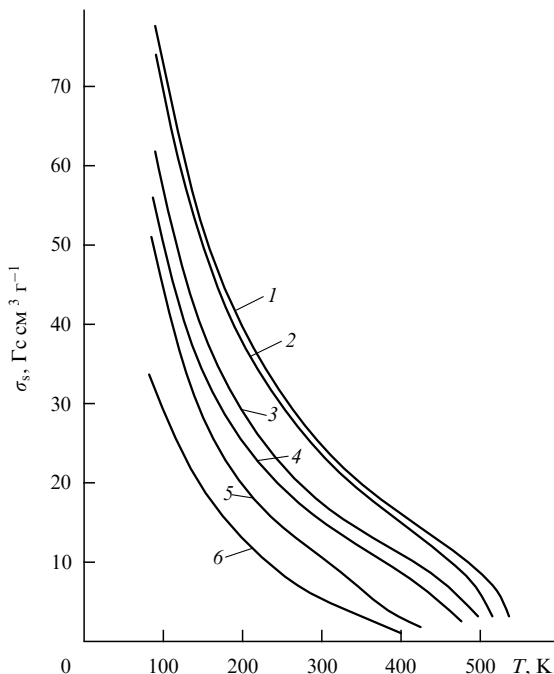


Рис. 2. Температурные зависимости спонтанной намагниченности с-подрешетки ("слабой" подрешетки) для систем замещенных ферритов $\text{Gd}_{3-x}\text{Ca}_x\text{Fe}_{5-x}\text{Sn}_x\text{O}_{12}$: 1 — $x = 0$; 2 — $x = 0,1$; 3 — $x = 0,3$; 4 — $x = 0,5$; 5 — $x = 0,7$; 6 — $x = 0,9$.

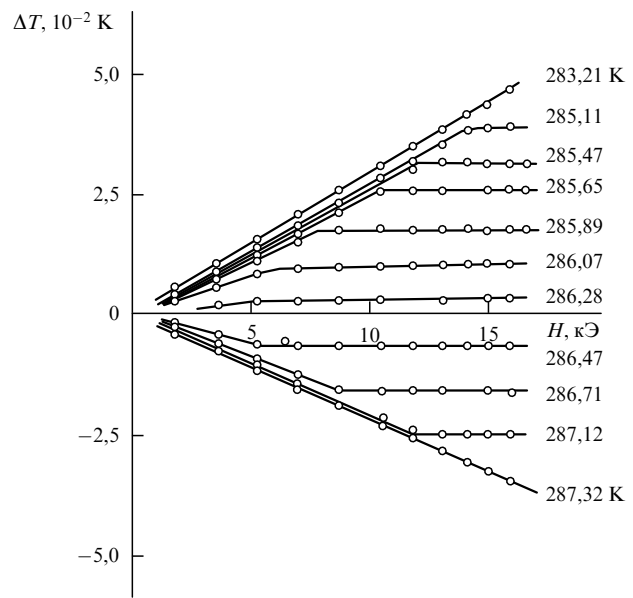


Рис. 3. Зависимость магнитокалорического эффекта от поля вблизи температуры компенсации $\Theta_{\text{com}} = 286,3$ К для феррита $\text{Gd}_3\text{Fe}_5\text{O}_{12}$.

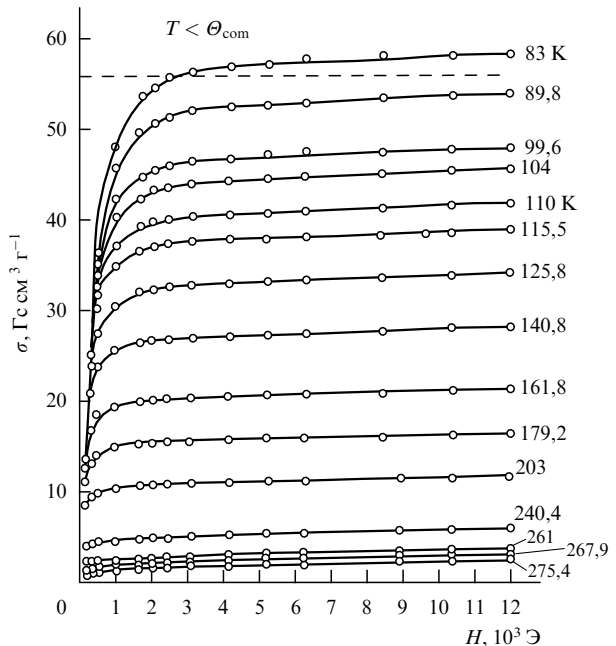
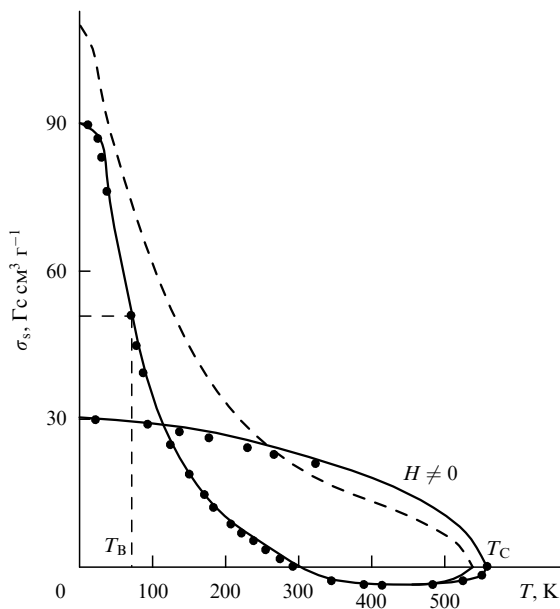


Рис. 4. Изотермы $\sigma(H)$ феррита $\text{Gd}_3\text{Fe}_5\text{O}_{12}$ при температурах $T < \Theta_{\text{com}}$.

температурной зависимости $\sigma_s(T)$ в этом интервале температур (рис. 5).

На рисунке 4 видно, что парапроцесс в поле 12 кЭ на изотермах $\sigma(H)$ мал, т.е. данное поле дает малый прирост намагниченности σ_s (порядка $2-3 \text{ Гс см}^3 \text{г}^{-1}$) сверх намагниченности насыщения ad-подрешетки (порядка $\sim 30 \text{ Гс см}^3 \text{г}^{-1}$, рис. 5). Между тем на рис. 4 и 5 видно, что при температуре 83 К прирост намагниченности при охлаждении образца составляет $25-27 \text{ Гс см}^3 \text{г}^{-1}$. Последний возникает из-за пиромагнитного эффекта (термопарапроцесса при $H = 0$), который здесь происходит за счет большой односторонней

Рис. 5. Температурные зависимости σ_s для $\text{Gd}_3\text{Fe}_5\text{O}_{12}$ и $\text{Y}_3\text{Fe}_5\text{O}_{12}$.

обменной анизотропии, так как обменное поле определяется "полной" величиной спонтанной намагниченности (σ_s)_{ad} ad-подрешетки (см. формулу (12)).

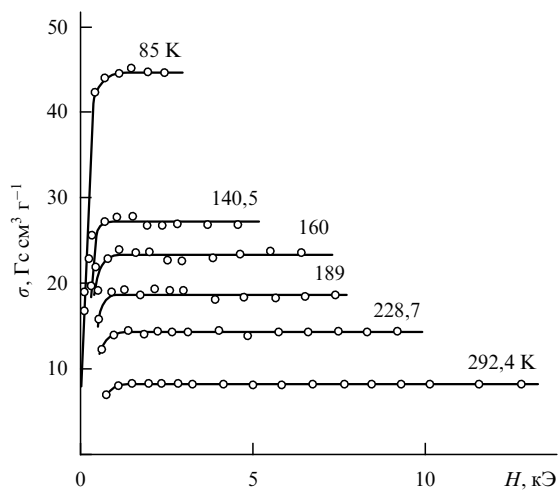
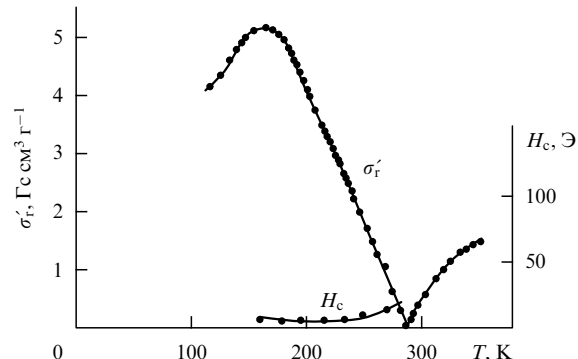
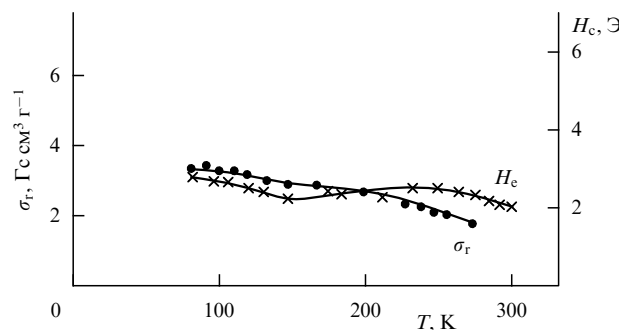
Согласно оценке по методу молекулярного поля [10] величина $(H_{\text{ex}})_{\text{eff}} \sim 2 \times 10^5$ Э, поэтому она вызывает большой прирост намагниченности σ_s на изотермах $\sigma(H)$ (вдоль оси ординат на рис. 4 при $H = 0$) и формирует крутой, асимптотический температурный ход спонтанной намагниченности σ_s Gd-подрешетки (см. штриховую кривую на рис. 5).

Наибольшая крутизна кривой $\sigma_s(T)$ на рис. 5 возникает в интервале температур между T_B и 150 К, но в этом интервале температур, как следует из кривой $\sigma_s(T)$ феррита $\text{Y}_3\text{Fe}_5\text{O}_{12}$ (т.е. ad-подрешетки), величина σ_s уменьшается незначительно, поэтому согласно соотношению (12) величина поля однонаправленной анизотропии тоже почти не изменяется в указанном интервале температур. Отсюда следует, что бурный, асимптотический рост намагниченности σ_s гадолиниевой подрешетки при понижении температуры происходит за счет пиромагнитного эффекта. Этот бурный рост σ_s вдоль оси ординат особенно наглядно выявляется (при $H = 0$) в замещенном феррите-гранате гадолиния немагнитными катионами (рис. 6) (по данным измерений [16]).

5. Непосредственное наблюдение пиромагнитного эффекта в феррите-гранате гадолиния

Наблюдение пиромагнитного эффекта было осуществлено при измерениях остаточной намагниченности феррита $\text{Gd}_3\text{Fe}_5\text{O}_{12}$ в работе Любутина [19]. На рисунке 7 приведены зависимости $\sigma_r(T)$ и коэрцитивной силы $H_c(T)$ для данного феррита в интервале температур между точками T_B и Θ_{com} (т.е. в интервале 100–293 К).

На рисунке 8 приведены температурные зависимости $\sigma_r(T)$ и $H_c(T)$ для феррита-граната иттрия $\text{Y}_3\text{Fe}_5\text{O}_{12}$ в том же интервале температур [19]. Образцы обоих ферритов были одинакового размера — стержни квадратного сечения 4 × 4 мм и длиной 50 мм.

Рис. 6. Изотермы намагниченности $\sigma(H)$ замещенного феррита-граната гадолиния ($\text{Gd}_3\text{Ga}_{1.5}\text{Fe}_{3.5}\text{O}_{12}$).Рис. 7. Температурные зависимости σ_r и H_c для $\text{Gd}_3\text{Fe}_5\text{O}_{12}$ в области температур $T < \Theta_{\text{com}}$.Рис. 8. Температурные зависимости σ_r и H_c для $\text{Y}_3\text{Fe}_5\text{O}_{12}$ при температурах $T < \Theta_{\text{com}}$.

Остаточная намагниченность σ_r создавалась сильным магнитным полем H_s и измерялась методом сбросывания катушки с образца.

Сопоставление кривых $\sigma_r(T)$ (а также $H_c(T)$) для обоих ферритов важно потому, что в феррите $\text{Gd}_3\text{Fe}_5\text{O}_{12}$ имеется "слабая" (гадолиниевая) подрешетка, а в $\text{Y}_3\text{Fe}_5\text{O}_{12}$ таковая отсутствует. Кроме того, подрешетка ad (катионов Fe^{3+}) в феррите $\text{Gd}_3\text{Fe}_5\text{O}_{12}$ есть по существу феррит $\text{Y}_3\text{Fe}_5\text{O}_{12}$, так как катион Y^{3+} не обладает магнитным моментом. Поэтому при анализе зависимостей $\sigma_r(T)$ и $H_c(T)$ в рассматриваемом температурном

интервале можно выявить "не участие" гадолиниевой подрешетки в формировании гистерезисных свойств феррита $\text{Gd}_3\text{Fe}_5\text{O}_{12}$.

Отсюда вытекает вывод, что остаточная намагниченность, измеряемая методом сбрасывания катушки с образца $\text{Gd}_3\text{Fe}_5\text{O}_{12}$, состоит из двух компонент:

1) истинной (гистерезисной) компоненты остаточной намагниченности σ_r , создаваемой подрешеткой ad;

2) псевдоостаточной (безгистерезисной) компоненты остаточной намагниченности σ'_r , индуцированной в "слабой" подрешетке односторонней обменной анизотропией.

Поле этой анизотропии в данном случае равно

$$(H_{\text{ex}})_{\text{eff}} = -J_{\text{c-ad}}(\sigma_r)_{\text{ad}}, \quad (15)$$

где $(\sigma_r)_{\text{ad}}$ — остаточная намагниченность ad-подрешетки, $J_{\text{c-ad}}$ — параметр обменного взаимодействия подрешеток с ad феррита $\text{Gd}_3\text{Fe}_5\text{O}_{12}$.

Из сопоставления кривых $\sigma_r(T)$ феррита $\text{Y}_3\text{Fe}_5\text{O}_{12}$ (см. рис. 8) и $\text{Gd}_3\text{Fe}_5\text{O}_{12}$ (см. рис. 7) вытекает, что сильное возрастание остаточной намагниченности при понижении температуры в феррите-гранате гадолиния обусловлено второй компонентой, т.е. псевдоостаточной (безгистерезисной) намагниченностью σ'_r . Как следует из рис. 7, в подрешетке ad истинная остаточная намагниченность σ_r в рассматриваемом интервале температур почти не изменяется по величине, следовательно, согласно формуле (15), и поле односторонней обменной анизотропии в данном интервале температур остается практически постоянным. Поэтому наблюдаемое на рис. 7 возрастание псевдоостаточной намагниченности необходимо приписать охлаждению образца (в отсутствие внешнего поля H); здесь мы имеем магнитный аналог пироэлектрического эффекта, т.е. пиromагнитный эффект.

Физика пиromагнитного эффекта состоит в том, что с понижением температуры в "слабой" подрешетке $\text{Gd}_3\text{Fe}_5\text{O}_{12}$ уменьшается дезориентирующее действие теплового движения на магнитный порядок, т.е. возникает термопарпроцесс (при $H = 0$), так как $(H_{\text{ex}})_{\text{eff}}$ в соотношении (15) в рассматриваемом интервале температур не меняется.

Сделанное утверждение справедливо при условии, что "слабая" подрешетка не обладает магнитным гистерезисом. То, что гадолиниевая подрешетка не участвует в формировании гистерезисных свойств (при температурах выше T_B) феррита $\text{Gd}_3\text{Fe}_5\text{O}_{12}$, следует из измерений константы магнитокристаллографической анизотропии K_1 . Согласно работе [20], вклад ΔK_1 катионов Gd^{3+} в константу K_1 феррита $\text{Gd}_3\text{Fe}_5\text{O}_{12}$ в рассматриваемом интервале температур ничтожно мал (рис. 9), он был получен в [20] путем вычитания константы анизотропии K_1 (рис. 9б) феррита $\text{Y}_3\text{Fe}_5\text{O}_{12}$ (полученной в работе [21]) из полной константы K_1 феррита $\text{Gd}_3\text{Fe}_5\text{O}_{12}$. На рисунке 9 видно, что катионы Gd^{3+} подрешетки с дают вклад в K_1 только при температурах ниже точки T_B (~ 100 К).

При температурах $T > T_B$ вклад в константу K_1 в данном феррите вносят только катионы Fe^{3+} подрешетки ad, а с-подрешетка находится в изотропном состоянии и не участвует в формировании гистерезисных свойств феррита $\text{Gd}_3\text{Fe}_5\text{O}_{12}$. В ней отсутствуют истинные значения σ_r и H_c , хотя в ней и присутствует спонтанная намагниченность σ_s , наведенная односторонней обменной анизотропией [2].

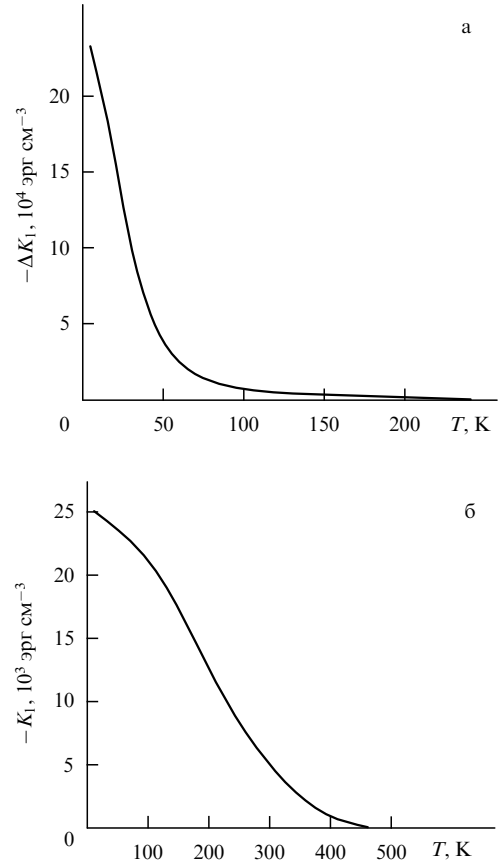


Рис. 9. Температурные зависимости (а) ΔK_1 для $\text{Gd}_3\text{Fe}_5\text{O}_{12}$ по данным [20], (б) K_1 для $\text{Y}_3\text{Fe}_5\text{O}_{12}$ по данным [21].

Конечно, аналогия пироэлектрического и пиromагнитного эффектов носит формальный характер, ибо их физические механизмы возникновения различны. В пироэлектриках спонтанная поляризация P_s изменяется под влиянием изменения температуры вследствие перераспределения электрических зарядов (при $E = 0$).

В случае пиromагнетика изменяется магнитный порядок (при $H = 0$) в "слабой" подрешетке, наведенный обменным полем $(H_{\text{ex}})_{\text{eff}}$ (согласно формуле (15), из-за присутствия в ad-подрешетке остаточной намагниченности σ_r).

Однако несмотря на различие их механизмов возникновения, в их проявлении много общего. Во-первых, оба эффекта возникают в диэлектриках и магнетиках, в которых существует спонтанная поляризация P_s и спонтанная намагниченность σ_s , при этом как пироэлектрик, так и пиромагнетик находится в монодоменном (однодоменном) состоянии. Аналогия также состоит в том (как следует из рис. 7), что пиromагнитный эффект (величина σ'_r) линейно зависит от T .

Отметим здесь следующее обстоятельство, касающееся проявления пиromагнитного эффекта. Поскольку, согласно формуле (15), σ'_r зависит от величины истинной σ_r , а эта последняя является структурно-чувствительной величиной, то и пиromагнитный эффект тоже будет структурно чувствительным. Это подтверждается результатами работы [19], в которой остаточная намагниченность σ'_r измерялась в рассматриваемом интервале температур в замещенном феррите $\text{Gd}_3\text{Fe}_5\text{O}_{12}$ немагнитными катионами, что приводило к смещению кривых $\sigma'_r(T)$ вдоль оси T .

Отметим, однако, что при возникновении пиромагнитного эффекта одновременно будет проявляться пьезомагнитный эффект. Дело в том, что при изменении температуры возникает тепловое расширение или укорочение ферримагнетика, а это можно рассматривать как действие дополнительного упругого напряжения ΔP . Так что при экспериментальном наблюдении пиромагнитного эффекта будет примешиваться (повидимому, небольшой величины) $\Delta J'$ за счет пьезомагнитного эффекта. Подобная ситуация возникает и при измерениях пироэлектрического эффекта в сегнетоэлектриках [25].

Далее обратим внимание на следующий экспериментальный факт, установленный в работе [19]. Как следует из рис. 7, при достижении определенной температуры (~ 160 К) на кривой $\sigma'_r(T)$ возникает максимум, при дальнейшем понижении T величина σ'_r уменьшается.

С нашей точки зрения, это вызвано тем, что по мере понижения температуры одновременно с ростом обменной энергии в "слабой" подрешетке (вследствие возрастания магнитного порядка) возрастает и энергия магнитного дипольного взаимодействия между магнитными моментами магнитных катионов Gd^{3+} , при этом с опережающей интенсивностью (поскольку это взаимодействие является дальнодействующим). Это взаимодействие приводит к тенденции размагничивания гадолиниевой подрешетки (находящейся в монодоменном состоянии), т.е. к тенденции образования доменов. Возникновение конкурирующего обменному взаимодействию в "слабой" подрешетке магнитодипольного взаимодействия вызывает метастабильное состояние магнитной системы в данной подрешетке с возникновением сопутствующих релаксационных эффектов.

В работе [22] в феррите $Gd_3Fe_5O_{12}$ в рассматриваемом интервале температур был обнаружен (рис. 10) большой

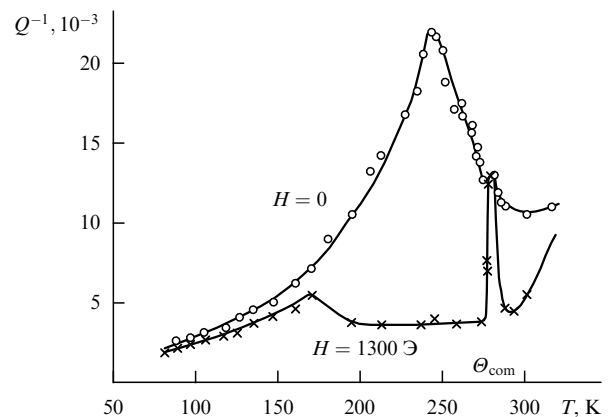


Рис. 11. Максимум внутреннего трения Q^{-1} (в поле $H = 0$) в феррите $Gd_3Fe_5O_{12}$ при температурах ниже точки Θ_{com} .

максимум магнитной вязкости (в слабом поле H), а в работе [23] — максимум внутреннего трения Q^{-1} (рис. 11) в нулевом поле. Аналогичный максимум внутреннего трения был обнаружен в работе [24] для ферритахромита лития в интервале температур между точками T_B и Θ_{com} , реализующийся в слабом поле H (или даже при $H = 0$ в случае рис. 10). (Заметим, что максимум Q^{-1} в точке компенсации (рис. 11), наблюдаемый в сильном поле 1300 Э, связан с нестабильностью неколлинеарной магнитной структуры в $Gd_3Fe_5O_{12}$, возникающей в этой точке.)

6. Заключение

Из сказанного в настоящей статье следует, что в 60-е годы XX века в исследовании магнитоупорядоченных веществ возникло два новых научных направления.

Во главе первого направления стояли А.С. Боровик-Романов и И.Е. Дзялошинский, положив начало изучению антиферромагнетиков, обладающих особенностями магнитной симметрии, приводящих в них к явлению "слабого" ферромагнетизма и возникновению неколлинеарной магнитной структуры. В этих магнетиках были обнаружен магнитный аналог пьезоэлектрического эффекта — пьезомагнитный эффект и линейная магнитострикция. В данных веществах по сравнению с нормальными антиферромагнетиками выявлены и другие интересные эффекты.

Во главе второго направления стоят автор настоящей статьи и С.А. Никитин, которые положили начало исследованию аномальных свойств ферримагнетиков со "слабой" подрешеткой (с асимптотическим температурным ходом спонтанной намагниченности в одной из подрешеток и существованием в них односторонней обменной анизотропии). Начиная с 60-х годов в них были выявлены новые явления, такие как существование низкотемпературного перехода магнитный порядок — беспорядок (точки T_B), проявление линейного магнитокалорического эффекта и линейной магнитострикции, пиромагнитного эффекта, и предсказано существование пьезомагнитного эффекта обменной природы [2]. Выявлены и другие особенности магнитных свойств, которые отсутствуют в нормальных, "неелевских" ферримагнетиках.

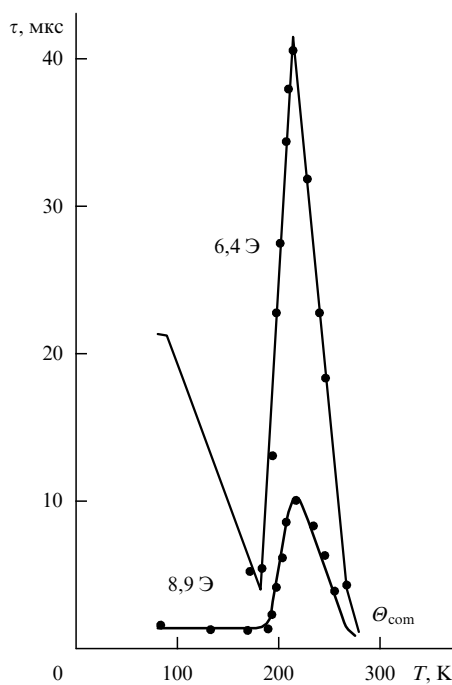


Рис. 10. Максимум магнитной вязкости τ (время перемагничивания) в феррите $Gd_3Fe_5O_{12}$ в области ниже точки магнитной компенсации Θ_{com} .

Список литературы

1. Боровик-Романов А С *ЖЭТФ* **38** 1088 (1960)
2. Белов К П *УФН* **169** 137 (1999)
3. Дзялошинский И Е *ЖЭТФ* **33** 807 (1957)
4. Дзялошинский И Е *ЖЭТФ* **33** 1547 (1957)
5. Birss R, Anderson J *Proc. Phys. Soc.* **81** 1139 (1953)
6. Левитин Р З, Щуров В А "Магнитные и магнитоупругие свойства гематита", в сб. *Физика и химия ферритов* (М.: Изд-во Моск. ун-та, 1973) с. 162
7. Кадомцева А М и др. *Письма в ЖЭТФ* **33** 400 (1981)
8. Neel L *Ann. Phys. (Paris)* **3** 137 (1948)
9. Белов К П, Соколов В И *Изв. АН СССР. Сер. Физ.* **30** 1073 (1966)
10. Белов К П, Никитин С А *Phys. Status Solidi* **12** 1 (1965)
11. Белов К П *УФН* **166** 869 (1996)
12. Струков Б А, Леванюк А П *Физические основы сегнетоэлектрических явлений в кристаллах* (М.: Наука. Физматлит, 1995)
13. Weiss P, Forrer P *Ann. Phys. (Paris)* **5** 153 (1924)
14. Белов К П *Упругие тепловые и электрические явления в ферромагнетиках* (М.: Наука, 1957)
15. Белов К П и др. *Письма в ЖЭТФ* **1** 423 (1968)
16. Кудрявцева Т В "Исследование магнитокалорического эффекта в редкоземельных ферритах-гранатах" Дисс. канд. физ.-мат. наук (М.: МГУ, 1978)
17. Белов К П, Любутин И С *Кристаллография* **10** 351 (1965)
18. Белов К П и др. *ЖЭТФ* **58** 1923 (1970)
19. Любутин И С *ФТТ* **7** 1397 (1965)
20. Pearson R E *J. Appl. Phys. (Suppl.)* **33** 1236 (1962)
21. Hansen P, in *Proc. Int. School Phys. "Enrico Fermi"* **LXX** 56 (1978)
22. Телесчин Р В, Овчинникова А М, в сб. *Ферриты* (Минск: Изд-во АН СССР, 1960) с. 325
23. Педъко А В "Магнитные свойства гадолиния и гадолиниевого феррита" Дисс. канд. физ.-мат. наук (М.: МГУ, физический факультет, 1960)
24. Горяга А Н, Левитин Р З, Линь-Чжан-да *ФММ* **12** (3) 458 (1961)
25. Желудев И С *Электрические кристаллы* (М.: Наука, 1969)

On the manifestation of the pyromagnetic effect in ferrimagnets with a ‘weak’ sublattice

K.P. Belov

*M.V. Lomonosov Moscow State University, Physics Department
Vorob'evy Gory, 119899 Moscow, Russian Federation
Tel. (7-095) 939-30 39*

The temperature dependence of the residual and spontaneous magnetization in ferrites with a ‘weak’ sublattice may be taken as evidence for the pyromagnetic effect — a magnetic analogue of the pyroelectric effect in which the magnetization of a sample increases on cooling in the absence of an external magnetic field. A confirmation of this has been provided by observation in such ferrites of a thermodynamically inverse phenomenon, the linear magnetocaloric effect. These effects are due to the unidirectional exchange anisotropy characteristic of the ferrimagnets with a weak sublattice.

PACS numbers: **75.50.-y, 75.50.GY, 75.80.+q, 75.90.+w**

Bibliography — 25 references

Received 19 January 2000